## 格子QCDを用いた軽い原子核の計算

## 山崎 剛



### 石川 健一, 藏増 嘉伸, 宇川 彰

Refs: PRD81:111504(R)(2010); PRD84:054506(2011); PRD86:074514(2012)

arXiv:1502.04182[hep-lat]

## 素粒子・原子核・宇宙「京からポスト京に向けて」シンポジウム

(HPCI戦略プログラム分野 5「物質と宇宙の起源と構造」全体シンポジウム

ポスト「京」重点課題(9)「宇宙の基本法則と進化の解明」キックオフシンポジウム)

◎紀尾井フォーラム(ホテルニューオータニガーデンコート1階多目的ホール),3月11-12日

## 目次

- 1. イントロダクション
- 2. 少数核子系束縛状態計算方法
- 3. これまでの結果
- 4. 今後の計算計画
- 5. まとめ

強い相互作用

強い相互作用の第一原理 QCD

クォーク・グルーオンの自由度

QCDの非摂動論的計算:格子QCD → 陽子・中性子(核子)の質量

浮田さんトーク: (安定)ハドロン質量@物理点 実験値と2-3%以内で一致

強い相互作用

強い相互作用の第一原理 QCD

クォーク・グルーオンの自由度

QCDの非摂動論的計算:格子QCD → 陽子・中性子(核子)の質量

強い相互作用

強い相互作用の第一原理 QCD

クォーク・グルーオンの自由度 QCDの非摂動論的計算: 格子QCD → 陽子・中性子(核子)の質量

大きな目的: 原子核の性質をクォーク・グルーオンから定量的に理解する

大きな目的: 原子核の性質をクォーク・グルーオンから定量的に理解する

核力計算のアプローチ(土井さんトーク)とは異なる

格子QCD分野では挑戦的な課題、しかし

- 1. 原子核質量の再現
- 2. 計算や観測の難しい原子核の性質の予言 例: 中性子過剰核 が将来可能になるかも

少数核子束縛状態の研究はまだ基礎的な結果を集めている段階 近年の目的

既知の軽い原子核の束縛エネルギーを再現できるか?

### 慣習的な<sup>4</sup>He系計算

$$\langle 0|O_{^{4}\text{He}}(t)O_{^{4}\text{He}}^{\dagger}(0)|0\rangle = \sum_{n} \langle 0|O_{^{4}\text{He}}|n\rangle\langle n|O_{^{4}\text{He}}^{\dagger}|0\rangle e^{-E_{n}t} \xrightarrow[t\gg 1]{} A_{0} e^{-E_{0}t}$$

#### 少数原子核計算の問題点

1. 統計誤差 
$$\propto \frac{1}{\sqrt{\pmb{\jmath}} \pmb{\jmath} \pmb{\imath} \pmb{\imath} \pmb{\imath} \pmb{\xi}} \exp \left( N_N \left[ m_N - \frac{3}{2} m_\pi \right] t \right)$$

#### 2. 膨大な計算コスト

クォーク縮約数 <sup>4</sup>He = 
$$p^2n^2 = (udu)^2(dud)^2$$
: 518400 c.f.) 陽子 =  $p = udu$ : 2

#### 3. 有限体積上束縛状態判別

引力散乱状態の有限体積効果が束縛エネルギーに似ている

### 慣習的な<sup>4</sup>He系計算

$$\langle 0|O_{^{4}\text{He}}(t)O_{^{4}\text{He}}^{\dagger}(0)|0\rangle = \sum_{n} \langle 0|O_{^{4}\text{He}}|n\rangle\langle n|O_{^{4}\text{He}}^{\dagger}|0\rangle e^{-E_{n}t} \xrightarrow[t\gg 1]{} A_{0} e^{-E_{0}t}$$

少数原子核計算の問題点

1. 統計誤差 
$$\propto \frac{1}{\sqrt{\pmb{\jmath}} \pmb{\jmath} \pmb{\imath} \pmb{\imath} \pmb{\imath} \pmb{\xi}} \exp \left( N_N \left[ m_N - \frac{3}{2} m_\pi \right] t \right)$$

#### 2. 膨大な計算コスト

クォーク縮約数 
$$^4$$
He =  $p^2n^2 = (udu)^2(dud)^2$ : 518400 c.f.) 陽子 =  $p = udu$ : 2

'09 以前、最も厄介な問題:  $O(10^6)$ 回(配位数 $\times$ 各t)の全縮約計算が必要

3. 有限体積上束縛状態判別

引力散乱状態の有限体積効果が束縛エネルギーに似ている

### 慣習的な<sup>4</sup>He系計算

$$\langle 0|O_{^{4}\text{He}}(t)O_{^{4}\text{He}}^{\dagger}(0)|0\rangle = \sum_{n} \langle 0|O_{^{4}\text{He}}|n\rangle\langle n|O_{^{4}\text{He}}^{\dagger}|0\rangle e^{-E_{n}t} \xrightarrow[t\gg 1]{} A_{0} e^{-E_{0}t}$$

少数原子核計算の問題点

- 1. 統計誤差  $\propto \frac{1}{\sqrt{\pmb{\jmath}} \pmb{\varepsilon} \pmb{\Sigma}} \exp\left(N_N \left[m_N \frac{3}{2}m_\pi\right]t\right)$ 
  - → 現実よりも重いクォーク + 多くの測定
- 2. 膨大な計算コストPACS-CS PRD81:111504(R)(2010)

クォーク縮約数 <sup>4</sup>He =  $p^2n^2 = (udu)^2(dud)^2$ : 518400  $\rightarrow$  1107

 $\rightarrow$  コスト削減: 演算子の対称性 $p(n) \leftrightarrow p(n)$ , 並列計算と非並列計算

より効率的な方法: '12 Doi and Endres; Detmold and Orginos; '13 Günther et al.

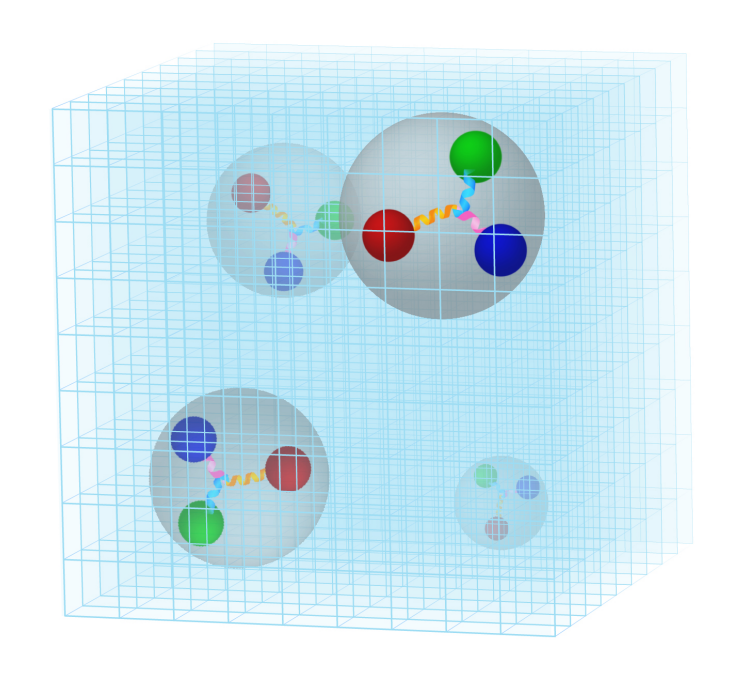
3. 有限体積上束縛状態判別

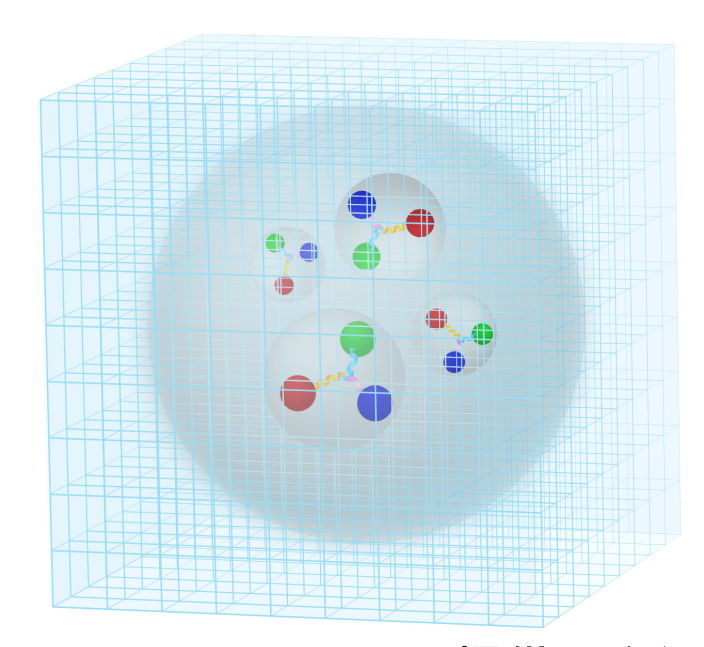
引力散乱状態の有限体積効果が束縛エネルギーに似ている

→ 次のページで説明

### 3. 有限体積上束縛状態判別

束縛エネルギーに似た引力散乱状態の有限体積効果  $\Delta E = E - N_N m_N < 0$ 引力散乱状態 束縛状態





図提供:入江氏(KEK)

$L \neq \infty$	$\Delta E = O(1/L^3) < 0$	$\Delta E < 0$
$L \to \infty$	$\Delta E \rightarrow 0$	$\Delta E < 0$

#### △E の有限体積依存性から束縛状態かを判別

他の方法: '04 Mathur et al., '05 Ishii et al.

### 慣習的な<sup>4</sup>He系計算

$$\langle 0|O_{^{4}\text{He}}(t)O_{^{4}\text{He}}^{\dagger}(0)|0\rangle = \sum_{n} \langle 0|O_{^{4}\text{He}}|n\rangle\langle n|O_{^{4}\text{He}}^{\dagger}|0\rangle e^{-E_{n}t} \xrightarrow[t\gg 1]{} A_{0} e^{-E_{0}t}$$

少数原子核計算の問題点

1. 統計誤差 
$$\propto \frac{1}{\sqrt{\pmb{\jmath}} \pmb{\varepsilon}} \exp\left(N_N \left[m_N - \frac{3}{2}m_\pi\right]t\right)$$

#### 最も厄介な問題

2. **膨大な計算コスト** PACS-CS PRD81:111504(R)(2010)

クォーク縮約数 
$$^4$$
He =  $p^2n^2 = (udu)^2(dud)^2$ : 518400 c.f.) 陽子 =  $p = udu$ : 2

'09 以前、最も厄介な問題:  $O(10^6)$  回 (配位数 $\times$  各t) の全縮約計算が必要

3. 有限体積上束縛状態判別

引力散乱状態の有限体積効果が束縛エネルギーに似ている

## 3. これまでの格子QCDを用いた少数核子束縛状態計算

• <sup>4</sup>He, <sup>3</sup>He

```
'10 PACS-CS N_f=0 m_\pi=0.8 GeV PRD81:111504(R)(2010) 
'12 HALQCD N_f=3, '12 NPLQCD 
'12 TY et al. N_f=2+1 m_\pi=0.5 GeV PRD86:074514(2012)
```

#### ● 二核子系

```
'11 PACS-CS N_f=0 m_\pi=0.8 GeV PRD84:054506(2011) 
'12 NPLQCD N_f=2+1, '12 NPLQCD N_f=3 
'12 TY et al. N_f=2+1 m_\pi=0.5 GeV PRD86:074514(2012)
```

今年度の目的: これまでの試験的研究をより信頼性のある計算へ発展させる  $N_f=2+1$  QCD, 軽 $N_f=0$ 

c.f. Hダイバリオン計算: '11,'12 HALQCD, NPLQCD

## 3. これまでの格子QCDを用いた少数核子束縛状態計算

• <sup>4</sup>He, <sup>3</sup>He

```
'10 PACS-CS N_f=0 m_\pi=0.8 GeV PRD81:111504(R)(2010) 
'12 HALQCD N_f=3, '12 NPLQCD 
'12 TY et al. N_f=2+1 m_\pi=0.5 GeV PRD86:074514(2012) 
'15 TY et al. N_f=2+1 m_\pi=0.3 GeV arXiv:1502.04182[hep-lat]
```

#### ● 二核子系

```
'11 PACS-CS N_f=0 m_\pi=0.8 GeV PRD84:054506(2011) 
'12 NPLQCD N_f=2+1, '12 NPLQCD N_f=3 
'12 TY et al. N_f=2+1 m_\pi=0.5 GeV PRD86:074514(2012) 
'15 TY et al. N_f=2+1 m_\pi=0.3 GeV arXiv:1502.04182[hep-lat]
```

今年度の目的: これまでの試験的研究をより信頼性のある計算へ発展させる  $N_f=2+1$  QCD, 軽 $N_f=0$ 

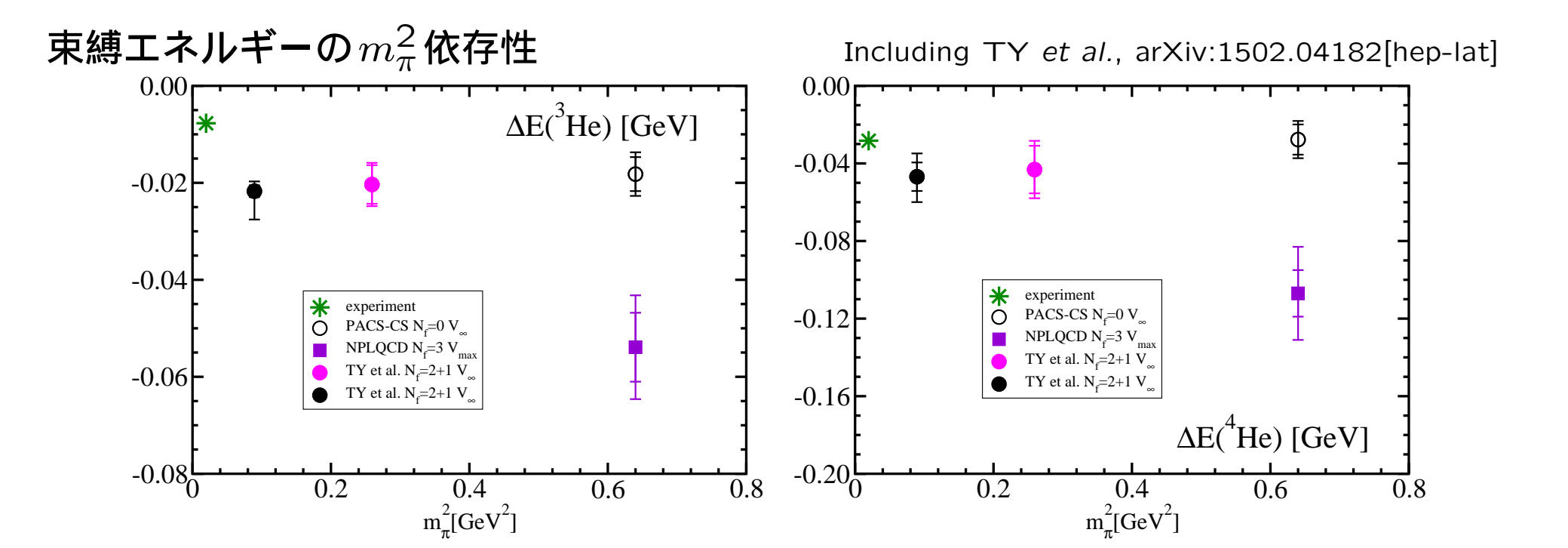
c.f. Hダイバリオン計算: '11,'12 HALQCD, NPLQCD

#### △Eの有限体積依存性 TY et al., arXiv:1502.04182[hep-lat] $\Delta E_L^{(3}S_1)$ [GeV] $\Delta E_L^{(1)} S_0^{(1)} [GeV]$ -0.005 -0.005 -0.010 -0.010 -0.015 -0.015 experiment const linear const -0.020 -0.020 bound linear bound -0.025-0.0252e-06 4e-06 8e-06 2e-06 4e-06 8e-06 6e-06 1e-05 6e-06 1e-05 $1/L^3$ 0.000 $\Delta E_{_{\rm I}}(^3{\rm He})$ [GeV] $\Delta E_{L}^{4}(He) [GeV]$ -0.025 -0.02 -0.050 -0.04 -0.075 experiment experiment \* const fit const fit linear fit linear fit -0.06 2e-06 8e-06 2e-06 4e-06 4e-06 6e-06 1e-05 8e-06 6e-06 1e-05

 $N_f=2+1$   $m_\pi=0.3$ GeVで全ての系で束縛状態を確認

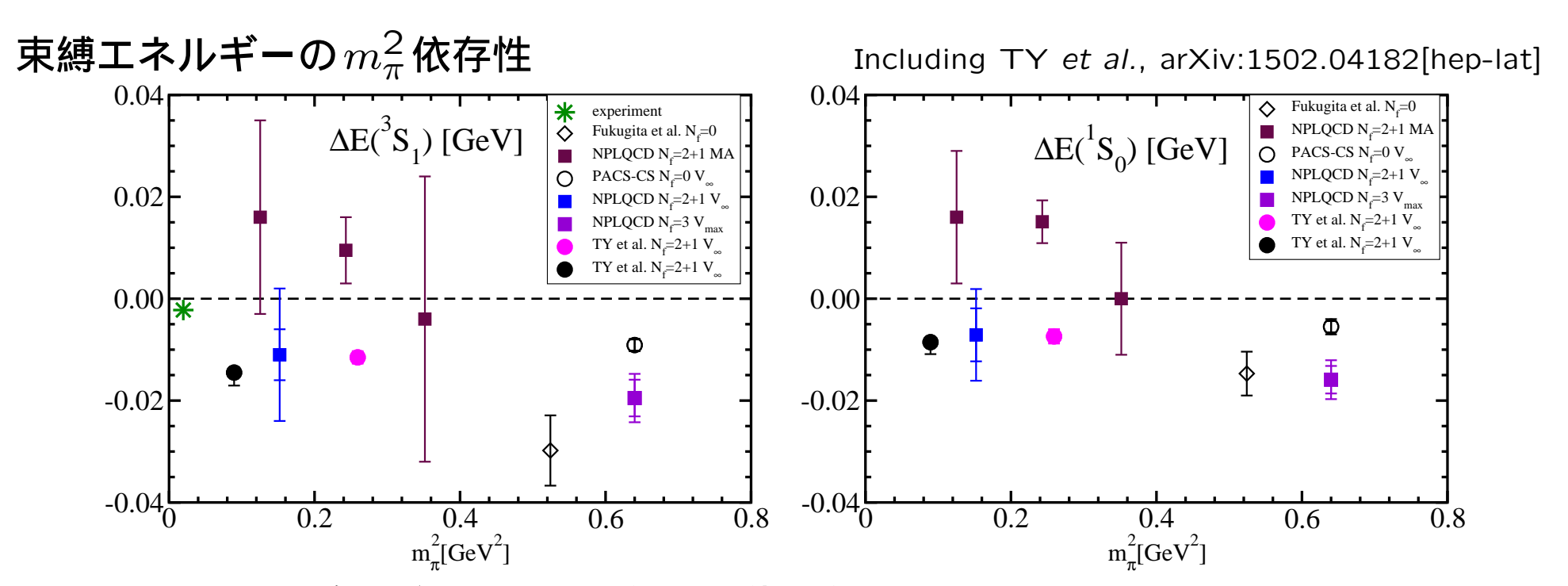
 $1/L^3$ 

## 3. **これまでの**計算(<sup>3</sup>He と<sup>4</sup>He)



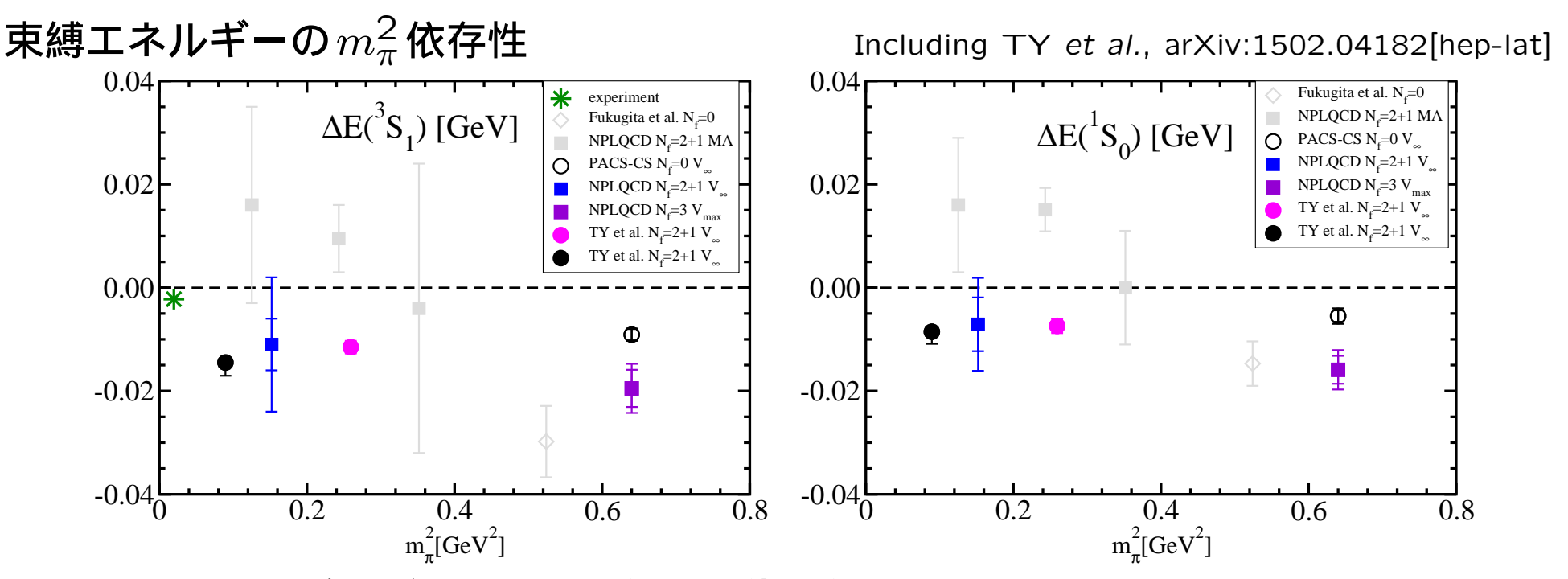
 $^{3}$ He と  $^{4}$ He は 0.3 GeV  $\leq m_{\pi} \leq$  0.8 GeV で束縛する 束縛エネルギーは実験値と同じオーダー  $^{4}$ He の束縛エネルギーは大きな誤差で実験値とほぼ一致  $^{3}$ He の束縛エネルギーは実験値に近づく様子が見えない

## 3. これまでの計算(NN系: ${}^3S_1 \, {}^2S_0)$



年以前は $\Delta E$ の有限体積依存性は調べられていなかった

## 3. これまでの計算(NN系: ${}^{3}S_{1}$ と ${}^{1}S_{0}$ )



2011年以前は $\Delta E$ の有限体積依存性は調べられていなかった

 $^{3}$ S $_{1}$ (重水素) と $^{1}$ S $_{0}$ (二中性子原子核) で束縛状態が存在 重水素の束縛エネルギーは実験値よりも大きい 二中性子原子核は実験では観測されていない 重水素の束縛エネルギーは実験値に近づく様子が見えない

## 4. 今後の計算計画

• <sup>4</sup>He, <sup>3</sup>He

'10 PACS-CS 
$$N_f=0$$
  $m_\pi=0.8$  GeV PRD81:111504(R)(2010)   
'12 TY  $et$   $al.$   $N_f=2+1$   $m_\pi=0.5$  GeV PRD86:074514(2012)   
'15 TY  $et$   $al.$   $N_f=2+1$   $m_\pi=0.3$  GeV arXiv:1502.04182[hep-lat]

#### • 二核子系

```
'11 PACS-CS N_f=0 m_\pi=0.8 GeV PRD84:054506(2011) 
'12 TY et al. N_f=2+1 m_\pi=0.5 GeV PRD86:074514(2012) 
'15 TY et al. N_f=2+1 m_\pi=0.3 GeV arXiv:1502.04182[hep-lat]
```

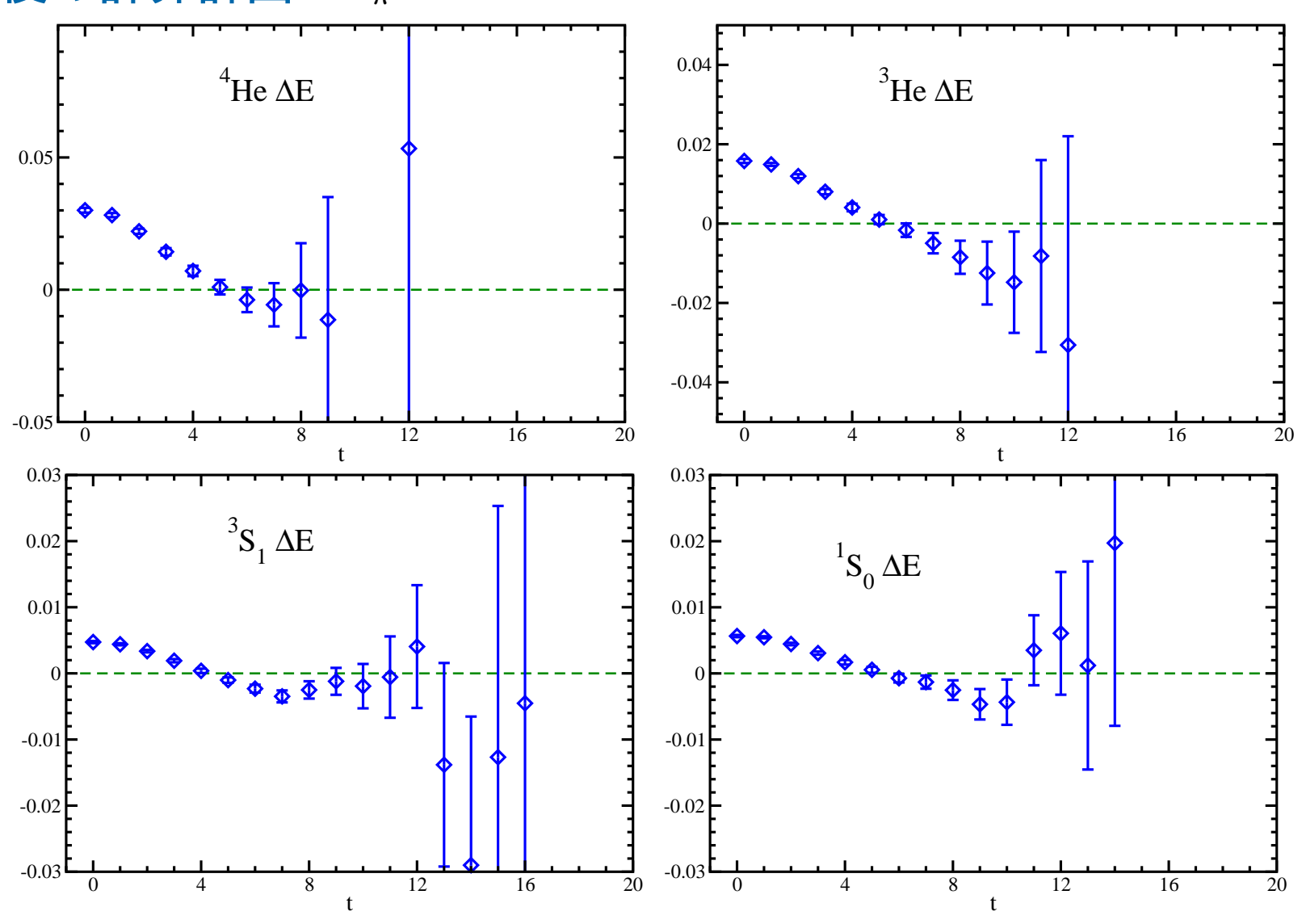
#### 今後の研究目的:

実験値との定量的・定性的違いを理解する

特に現実よりも大きなクォーク質量起因の系統誤差を見積もる

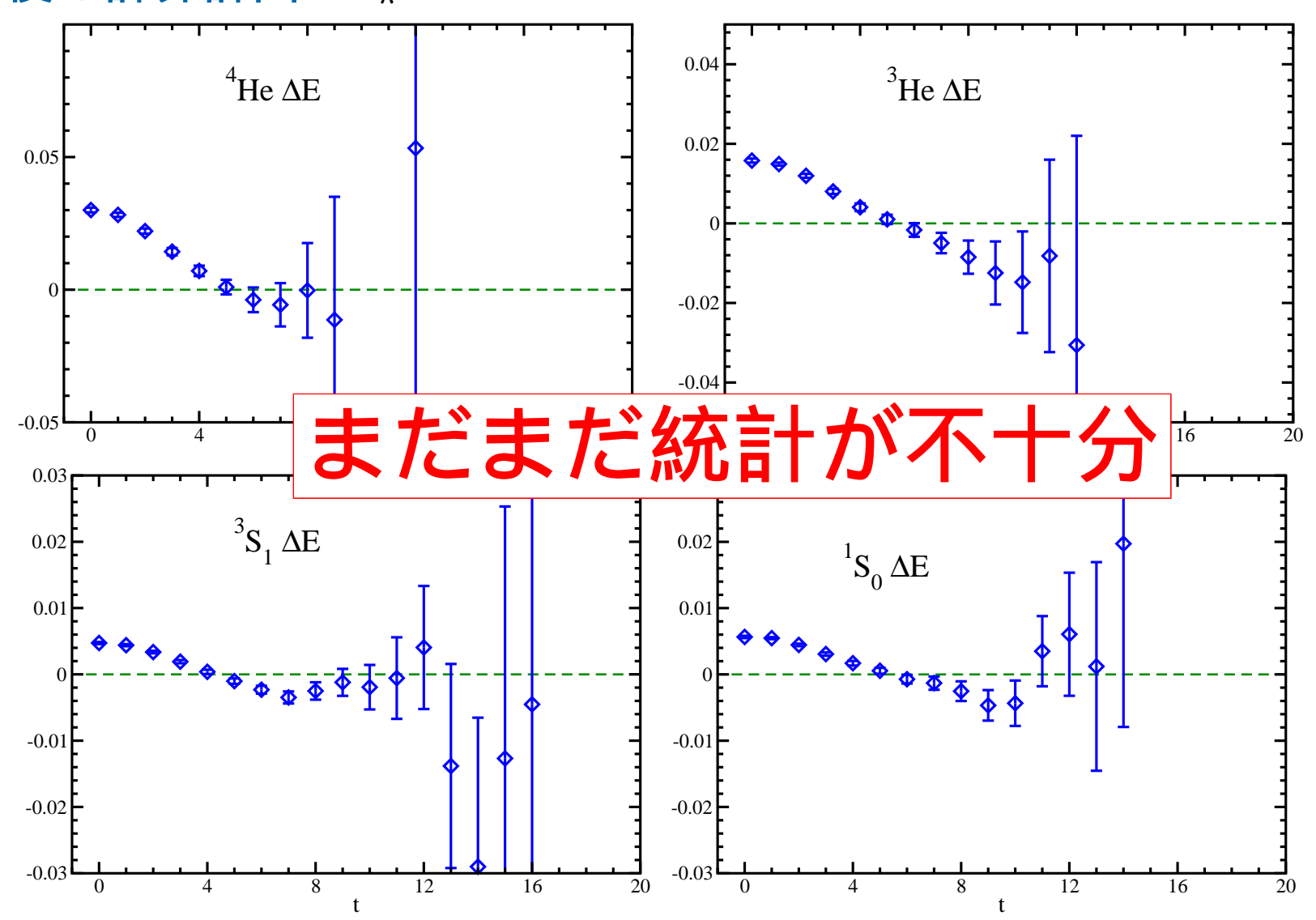
これまでの研究をさらに信頼性のある計算へ発展させる  $N_f=2+1$  QCD, 現実的なクォーク質量での計算を実行

# 4. 今後の計算計画 $m_\pi \sim$ 0.14 GeV on $L \sim$ 8 fm



利用計算資源: HA-PACS at 筑波大,「京」 at 理研AICS

## 4. 今後の計算計画 $m_\pi \sim 0.14$ GeV on $L \sim 8$ fm



利用計算資源: HA-PACS at 筑波大,「京」 at 理研AICS

## 5. まとめ

•  $N_f = 2 + 1$   $m_\pi = 0.3$  GeVの計算終了

無限体積極限で $\Delta E \neq 0$ 

 $\rightarrow$  <sup>4</sup>He, <sup>3</sup>He, <sup>3</sup>S<sub>1</sub>, <sup>1</sup>S<sub>0</sub> に束縛状態 (原子核)

実験値よりも大きな束縛エネルギー、観測されていない二中性子原子核 系統誤差の大きさが評価できていない・・・クォーク質量、有限格子間隔

ullet 現実的クォーク質量  $m_\pi \sim 0.14$  GeV の計算開始まだまだ統計が不十分

#### 将来計画

来年度: 現実的クォーク質量の計算を継続

統計を現状の二倍程度に増やし、成果をまとめる